

Methodes iteratives classique

Jacobi

$$\begin{cases} a_{11} x_1 + a_{12} x_2 + \dots + a_{1n} x_n = b_1 \\ a_{21} x_1 + a_{22} x_2 + a_{23} x_3 + \dots + a_{2n} x_n = b_2 \\ \vdots \\ a_{n1} x_1 + \dots + a_{nn} x_n = b_n \end{cases}$$

$$x_1^{(k+1)} = \frac{1}{a_{11}} \left(b_1 - a_{12} x_2^{(k)} - \dots - a_{1n} x_n^{(k)} \right)$$

$$x_i^{(k+1)} = \frac{1}{a_{ii}} \left(b_i - a_{i1} x_1^{(k)} - \dots - a_{in} x_n^{(k)} \right)$$

$$x_n^{(k+1)} = \frac{1}{a_{nn}} \left(b_n - a_{n1} x_1^{(k)} - \dots - a_{nn-1} x_{n-1}^{(k)} \right)$$

$$x_i^{(k+1)} = \frac{1}{a_{ii}} \left(b_i - \sum_{j \neq i} a_{ij} x_j^{(k)} \right) \quad \Delta \text{ Pyramide, } \Sigma \text{ vecteurs}$$

Preux (?) as : utiliser dernier itere disponible

$$\begin{cases} x_2^{(k+1)} = \frac{1}{a_{22}} \left(b_2 - a_{21} x_1^{(k+1)} - a_{23} x_3^{(k)} - \dots - a_{2n} x_n^{(k)} \right) \\ \vdots \\ x_n^{(k+1)} = \frac{1}{a_{nn}} \left(b_n - a_{n1} x_1^{(k+1)} - \dots - a_{nn-1} x_{n-1}^{(k+1)} \right) \end{cases}$$

Ordre complet.

Description matricielle

$D = \text{diag } A$

$L = \text{lower}(A), U = \text{upper}(A)$

$A = L + D + U$

Jacobi : $x^{k+1} = -D^{-1} \left((L+U) x^k + b \right) \quad \Gamma_J = -D^{-1}(L+U)$

Gauss-Seidel $(D+L) x^{k+1} = b - U x^k \quad \Gamma_{GS} = -(D+L)^{-1} U$

$$M_J = D, \quad N_J = -(L+U)$$

$$M_{GS} = D+L, \quad N_{GS} = -U$$

General "Matrix splitting"

$$M x^{k+1} = N x^k + b,$$

M invertible

$$A = M - N$$

Convergence: rayon spectral $\rho(G) = \rho(M^{-1}N)$, $\rho < 1$ (if dec)

Th (Ciarlet, Th 5.1.1)

Méthode itérative cv $\Leftrightarrow \rho(M^{-1}N) < 1$ [$\rho(B) \leq \|B\|$ pour norme subordonnée]

Matrice d'itération $x^{k+1} = M^{-1}N x^k + M^{-1}b$

Req $M^{-1}N = I - M^{-1}A$

Exemples pour Jacobi ou GS

Th A diagonale strictement dominante \Rightarrow Jacobi cv

$$DSD = |a_{ii}| > \sum_{j \neq i} |a_{ij}| \quad \forall i \quad (\Rightarrow \text{invertible})$$

Th A SPD \Rightarrow GS converge

~~Sur relaxation~~

~~$$x^{k+1} = \omega x_{GS}^{(k+1)} + (1-\omega) x^k \quad \omega \in \mathbb{R}$$~~

~~$$x^{k+1} = \omega (b - (D+L)^{-1} U x^k) + (1-\omega) x^k$$~~

~~$$\Leftrightarrow (D+L) x^{k+1} = \omega b - \omega U x^k + (1-\omega) (D+L) x^k$$~~

~~$$x^{k+1} = \omega (D+L)^{-1} (b - U x^k) + (1-\omega) x^k$$~~

~~$$(D+L) x^{k+1} = \omega b - \omega U x^k + (1-\omega) (D+L) x^k$$~~

sur relaxation

$$x^{kn} = \omega x_{cs}^{(kn)} + (1-\omega) x^k$$

$$x^{kn} = \omega (D+L)^{-1} (b - Ux^k) + (1-\omega) x^k$$

$$Dx^{kn} - \lambda = \omega (b - Ux^k - Lx^{kn}) - \omega D x^k$$

$$(D + \omega L) x^{kn} = \omega b + ((1-\omega)D - \omega U) x^k$$

$$M_\omega = (D + \omega L)^{-1}, \quad N_\omega = (1-\omega)D - \omega U$$

Th) A SOR cv \Rightarrow $0 < \omega < 2$

1) A sym et def pos, $0 < \omega < 2 \Rightarrow$ SOR cv.

Méthode par blocs

D_{ii} inversible

$$A = \begin{bmatrix} A_{11} & A_{12} & \dots & A_{1n} \\ & A_{22} & & \\ & & \dots & \\ & & & A_{nn} \end{bmatrix}$$

Jacobi / bloc $\overset{\text{split}}{A_{ii}}$

$$A_{ii} x_i^{kn} = b_i - \sum_{j \neq i} A_{ij} x_j^k \quad \text{blocs}$$

SOR / bloc

$$A_{ii} x_i^{kn} = b_i - \sum_{j \neq i} A_{ij} x_j^{kn} - \sum A_{ij} x_j^k$$

Méthode du gradient conjugué (1)

Notations - généralités

$$Ax = b, \quad x \in \mathbb{R}^d, \quad b \in \mathbb{R}^d, \quad A \in \mathbb{R}^{d \times d} \text{ inversible}$$

$$\boxed{A \text{ SPD}} \quad A^T = A, \quad \forall y^T Ax = x^T Ay$$

$$\text{solution } x^* \quad x^* = A^{-1} b$$

A "grande et creuse" cf exemples sparse

Suite $(x_k)_{k \in \mathbb{N}}$ $x_k \rightarrow x^*$?

Residu $r = b - Ax, \quad r_k = b - Ax_k$

Erreur $e = x - x^*$

$$r = -Ae$$

Lemme $\frac{\|e\|}{\|e_0\|} \leq \kappa(A) \frac{\|r\|}{\|r_0\|} \quad \kappa(A) = \|A\| \|A^{-1}\|$

Dem

$$r = b - Ax = -Ae$$

$$\|e\| \leq \|A^{-1}\| \|r\| \leq \|A^{-1}\| \|A\| \|e\|$$

$$\|r\| = \|Ae\| \leq \|A\| \|e\|$$

$$\frac{\|e\|}{\|e_0\|} \leq \frac{\|A^{-1}\| \|r\|}{\|r_0\|} = \frac{\|A^{-1}\| \|A\|}{\|A\|} \frac{\|r\|}{\|r_0\|} = \kappa(A) \frac{\|r\|}{\|r_0\|}$$

△ Critère d'arrêt. (+ hard)

Sys linéaire minimisée et \perp

$$J(x) = \frac{1}{2} x^T Ax - b^T x$$

(1) $\min_x J(x) \Leftrightarrow Ax = b$ si $A \text{ SPD}, \exists! \min$

(2) \exists ssev $\mathbb{R}^d, \min_{x \in F} J(x) \Leftrightarrow r \perp F \quad \exists! x \in F$

Plan sur CG

- Generalités notations
- Lien minimisation - orthogonalité
- Présentation "abstraite" → algorithme
- Discussion algo / pratique (matrix free)
- Critère d'arrêt
- Convergence
- Compléments?

Minimisation - orthogonalité et normes

A SPD

(6)

$$J(x) = \frac{1}{2} x^T A x - x^T b$$

$$\min_{x \in \mathbb{R}^d} J(x) \Leftrightarrow Ax = b \quad (\text{gradient, ou à la main})$$

si A SPD, $\|x\|_A = (x^T A x)^{1/2}$ norm $((x, y)_A = y^T A x$ pdt scalar)

Rq $\|x - x^*\|_A^2 = 2(J(x) + x^T A x)$

Dém $\|x - x^*\|_A^2 = (x - x^*)^T A (x - x^*) = x^T A x - \underbrace{2x^T A x^*}_{\text{Asym}} + x^{*T} A x^*$

$$= \underbrace{x^T A x - 2x^T b}_{2J(x)} + \underbrace{x^{*T} A x^*}_{ck}$$

donc $\min_{x \in S} J(x) \Leftrightarrow \min_{x \in S} \|x - x^*\|_A \quad S \subset \mathbb{R}^d$

\Leftrightarrow projection de x^* sur S (convexe!)

si $F =$ ssev de \mathbb{R}^d $\min_{x \in F} \|x - x^*\|_A \Leftrightarrow \begin{cases} x \in x_0 + F \\ x - x^* \perp_A F \end{cases}$

$x - x^* \perp_A F \Leftrightarrow \forall y \in F, y^T A (x - x^*) = y^T A x - y^T b = 0$

$\Rightarrow \underline{r \perp F} \quad (\perp \text{ par } A)!!$

espace Krylov

$$K_m(A, r_0) = K_m(r_0) = \text{vect}(r_0, A r_0, \dots, A^{m-1} r_0)$$

- $\bullet K_m(r_0) \subset K_{m+1}(r_0)$
 - $\bullet \dim K_m(r_0) \leq m$
- $x \in K_m(r_0) \Leftrightarrow x = p(A)r_0, \quad p \in \mathbb{P}(x), \quad \deg p \leq m-1$

si $\left\{ \begin{array}{l} K_m(r_0) = K_{m+1}(r_0) \Rightarrow A^m r_0 \in K_m(r_0) \\ A^m r_0 = r_0 + A q(A) r_0 \quad \deg q < m-1 \\ b = A r_0 + A \underbrace{(A^{m-1} - q(A))}_{\neq 0} r_0 \Rightarrow x_0 + (A^{m-1} - q(A)) r_0 \text{ sol } \neq 0 \end{array} \right.$

De toutes façons $\text{sol } \neq 0 \in K_d(r_0) (!)$

Algorithme gradient conjugué

x_k réalise le min de $J(x)$ sur $x_0 + K_k(r_0)$
 (Bien défini, th projection sur convexe)

① $r_k \in K_k$ si $l < k$: $r_k = b - Ax_k = r_0 + A(x_0 - x_k)$
 Recurrence sur l $\in K_{l+1} + AK_l \in K_{l+1} \subset K_k$
 $r_0 \in K_l$ (def)
 $r_{k+1} = b - Ax_{k+1}$

② $r_k \neq 0$ $r_l = 0$ $l < k$. $r_k \perp K_k$ et $r_k \in K_k$ OK
 Donc (?) $K_k = \text{vect}(r_0, \dots, r_{k-1})$ ($>$, et m dimension)
 \hookrightarrow tant que $r_k \neq 0$ (mais si $r_k = 0$, x_k est sol \emptyset)

③ Rq si $x_k = x_{k+1}$ alors $r_k = r_{k+1}$. Mais (2) \Rightarrow
 $\|r_k\|^2 = r_k^T r_k = r_{k+1}^T r_k = 0 \Rightarrow \underline{x_k = x^*}$

④ On définit P_{k+1} par $x_{k+1} = x_k + \alpha_k P_{k+1}$ (α_k pas défini) mais $\alpha_k \neq 0$
 P_{k+1} déterminé à un scalaire près par
 $P_{k+1} \in K_{k+1}$; $y^T A P_{k+1} = 0, \forall y \in K_k$

P_k est $A \perp$ à K_k (on dit conjugué...)

Dem $r_{k+1} = b - Ax_{k+1} - \alpha_k A P_{k+1} = r_k - \alpha_k A P_{k+1} \perp K_{k+1}$
 En particulier, $y \in K_k$ $r_k \perp y \Rightarrow A P_{k+1} \perp y$
 $P_{k+1} \in K_{k+1} (P_{k+1} - x_k)$, et \perp_A à l'asse de dim k de nous

⑤ à raisonner $\text{vect}(P_1, \dots, P_k) = K_k$ tant que $P_k \neq 0 \Leftrightarrow r_k \neq 0$

④ On définit P_R par:

$$p_0 = 0, \quad x_{R+1} = x_R + \alpha_R P_R \quad (\alpha_R \text{ par définition } \neq 0)$$

P_R déterminé à un scalaire près par

$$P_R \in K_{R+1}, \quad y^T A P_R = 0, \quad \forall y \in K_R$$

$\rightarrow P_R$ est A -orthogonal à K_R (on dit conjugué)

Dem

$$r_{R+1} = b - A x_{R+1} - \alpha_R A P_R = r_R - \alpha_R A P_R$$

$$r_{R+1} \perp K_{R+1} = y \in K_R \Rightarrow r_R \perp y \Rightarrow A P_R \perp y$$

$$\Rightarrow P_R \in K_{R+1}$$

$P_R \in K_{R+1} (\perp x_{R+1} - x_R)$ et \perp_A à 1 sev de dem 1 de nom

⑤ M raisonnement $\text{vect}(p_0, \dots, p_R) = K_R$ tant que $p_R \neq 0 \Leftrightarrow r_R \neq 0$

⑥ Déterminer $p_R = \underbrace{r_R}_{K_{R+1} \perp K_R} + \underbrace{\sum_{j=0}^{R-1} \gamma_{Rj} p_j}_{K_R}$

Rq $r_R^T A p_R \neq 0$

Dem $\text{def } P_R \Rightarrow r_{R+1} = r_R - \alpha_R A P_R$

$$\underbrace{r_R^T r_{R+1}}_0 = \underbrace{\|r_R\|^2}_* - \alpha_R \underbrace{r_R^T A P_R}_{\neq 0} \Rightarrow \neq 0$$

MQ

$$\gamma_{Rj} = 0, \quad j=0, \dots, R-1$$

$$\gamma_{R,R-1} = \beta_{R-1} = - \frac{r_{R-1}^T A r_R}{r_{R-1}^T A p_{R-1}}$$

On utilise ④ sous la forme $r_l^T A p_R = 0, \quad \forall l=0, \dots, R-1$

⑧

\otimes Pour $l=0, \dots, k-2$: $r_l \perp K_k, A r_l \in K_{k-1} \Rightarrow A r_l \perp r_k$
 Dans la somme $r_l^T A p_j = 0$ pour $j \neq l$
 et $r_l^T A p_l \neq 0 \Rightarrow \underline{\gamma_{kl} = 0, l=0, \dots, k-2}$

③ $p_k = r_k + \beta_{k-1} p_{k-1}$

p_k^T scalaire avec $A r_{k-1} \quad (r_{k-1}^T A p_{k-1} \neq 0)$

$$\beta_{k-1} = - \frac{r_k^T A r_{k-1}}{p_{k-1}^T A r_{k-1}}$$

④ Calcul de α_k ? α_k min mix ds la direction p_k

$J(\alpha) = J(x_k + \alpha p_k)$

$J'(\alpha) = 0 \Rightarrow$

$J(\alpha) = \frac{1}{2} \alpha^2 p_k^T A p_k + \alpha p_k^T A x_k + \frac{1}{2} x_k^T A x_k - x_k^T b - \alpha p_k^T b$

$J'(\alpha) = \alpha p_k^T A p_k + p_k^T A x_k - p_k^T b = \alpha p_k^T A p_k - p_k^T r_k$

$$\alpha_k = \frac{p_k^T r_k}{p_k^T A p_k}$$

⑤ Meilleures formules pour α_k, β_k

$$\alpha_k = \frac{\|r_k\|^2}{p_k^T A p_k} \quad \beta_k = \frac{\|r_{k+1}\|^2}{\|r_k\|^2}$$

Rem

1) $p_k = r_k + \beta_{k-1} p_{k-1}$ et $p_{k-1} \in K_k, r_k \perp K_k$

$r_k^T p_k = \|r_k\|^2 + \beta_{k-1} \underbrace{r_k^T p_{k-1}}_{=0} \Rightarrow r_k^T p_k = \|r_k\|^2$

2) $r_{k+1} = r_k - \alpha_k A p_k$

$0 = (p_k^T r_{k+1}) = p_k^T r_k - \alpha_k p_k^T A p_k \Rightarrow \alpha_k = \frac{p_k^T r_k}{p_k^T A p_k} = \frac{\|r_k\|^2}{p_k^T A p_k}$

3

$$p_{k+1} = r_{k+1} + \beta_k p_k$$

$$p_{k+1}^T A p_{k+1} = r_{k+1}^T A p_{k+1} + \beta_k p_k^T A p_k$$

= 0 (conjugue) $\Rightarrow \beta_k = - \frac{r_{k+1}^T A p_k}{p_k^T A p_k}$

puis $p_k^T A p_k = p_k^T A (r_k + \beta_{k-1} p_{k-1})$
 $= p_k^T A r_k + \beta_{k-1} p_k^T A p_{k-1}$

et (rappel, 5): $p_k^T A r_k = \frac{\|r_k\|^2}{\alpha_k}$

Ensemble: $\beta_k = - \frac{r_{k+1}^T A p_k}{\|r_k\|^2} \alpha_k$

$$\text{Enfin } r_{k+1} = r_k - \alpha_k A p_k$$

$$\|r_{k+1}\|^2 = -\alpha_k r_{k+1}^T A p_k$$

$$\Rightarrow \beta_k = \frac{\|r_{k+1}\|^2}{\|r_k\|^2}$$

Algo cf Wiki p. 484!

Données: $x_0, it_{max}, tol.$

$$r_0 = b - A x_0, p_0 = r_0; \quad k \leftarrow 0$$

Pour $k=0, k++, k \leq it_{max}$

$$\alpha_k = \frac{\|r_k\|^2}{p_k^T A p_k}$$

$$x_{k+1} = x_k + \alpha_k p_k$$

$$r_{k+1} = r_k - \alpha_k A p_k$$

Si $\|r_{k+1}\| < tol \|b\|$ STOP \leftarrow Arrêt

$$\beta_k = \frac{\|r_{k+1}\|^2}{\|r_k\|^2}$$

$$p_{k+1} = r_{k+1} + \beta_k p_k$$

e) $r_k = r_{k-1} - \alpha_k A p_k \Rightarrow \|r_k\|^2 = \alpha_k r_{k-1}^T A p_k$

$\beta_{k+1} = \frac{\|r_k\|^2}{\|r_{k+1}\|^2}$

ouj!!!

Algo final (cf Allaire / Kaber)

Init $x \in \mathbb{R}^n$ $r = b - Ax$, $p = r$, $\delta = \|r\|^2$

Tant que ~~pas~~ pas convergé faire

- $y = Ap$
- $\alpha = \delta / p^T y$
- $x = x + \alpha p$
- $r = r - \alpha y$
- $\beta = \|r\|^2 / \delta$
- $\delta = \|r\|^2$
- $p = r + \beta p$

Mémoire 3 vecteurs x, r, p .
cout / iter \approx 3 axes, 2 pts scalaires, 1 mat vec

↳ Implémenta 0: Pas besoin de A, just $p \rightarrow Ap$
"Convergence" en au plus n iters (mais pas, intérêt faible en FP)

Test d'arrêt Réduction du résidu, donc quand δ petit

En pratique souvent $\frac{\delta}{\|r\|} \leq \epsilon \approx 10^{-6}$

mais si r_0 petit trop difficile \Rightarrow

meux ~~pas~~ $\delta < \epsilon \|b\|$ (souvent parce l)

Convergence de CG

On repart de la def de x_R

$$x_R \in x_0 + K_R, \text{ minimise } \|x - x^*\|_A \text{ sur } x_0 + K_R$$

Deja dit

$$x \in x_0 + K_R \Rightarrow x - x^* = x_0 - x^* + \sum_{j=0}^{R-1} \gamma_j A^j r_0$$

$$r_0 = Ax^* - Ax_0$$

$$x - x^* = p(A)(x^* - x_0)$$

avec $p(z) = 1 - \sum_{j=0}^{R-1} \gamma_j z^j$, $\begin{cases} \deg p = R \\ p(0) = 1 \end{cases}$

$$\|x_R - x^*\|_A = \min_{\substack{p \in \mathcal{P}_R \\ p(0)=1}} \|p(A)(x^* - x_0)\|_A$$

A SPD. $A = U \Lambda U^T$

U matrice orthogonal

Λ diagonale $\Lambda = \begin{pmatrix} \lambda_1 & & \\ & \ddots & \\ & & \lambda_n \end{pmatrix}$

$$p(A) = U p(\Lambda) U^T$$

$$p(A) = \text{diag}(p(\lambda_1), \dots, p(\lambda_n))$$

On voit $A^m = U \Lambda^m U^T$, $\|x\|_A^2 = x^T A x = \|A^m x\|_2^2$

Donc $\|p(A) e\|_A^2 = \|A^m p(A) e\|_2^2 \leq \|p(A)\|_2^2 \|A^m x\|_2^2 = \|p(A)\|_2^2 \|x\|_A^2$

$$\|p(A)\|_2 = \max_{\lambda \in \sigma(A)} |p(\lambda)|$$

Thm

$$\|x_R - x^*\| \leq \left(\min_{\substack{p \in \mathcal{P}_R \\ p(0)=1}} \max_{\lambda \in \sigma(A)} |p(\lambda)| \right) \|x_0 - x^*\|_A$$

Corollaire $p \in \mathcal{P}_R, p(0) = 1.$

$$\|x_R - x^*\| \leq \max_{\lambda \in \sigma(A)} |p(\lambda)| \|x_0 - x^*\|_A$$

Bien choisir le polynôme.

On retrouve conv en d iterations

Prendre $p(\lambda) = \prod_{i=1}^d (1 - \frac{\lambda}{\lambda_i})$ 0 sur le spectre

Corollaire. Estimation "classique"

$$\max_{\lambda \in \sigma(A)} |p(\lambda)| \leq \max_{\lambda_1 \leq \lambda \leq \lambda_d} |p(\lambda)|$$

et le pb

$$\left| \begin{array}{l} \min_{p \in \mathcal{P}_R} \max_{\lambda \in [\lambda_1, \lambda_d]} |p(\lambda)| \\ p(0)=1 \end{array} \right|$$

a une solution connue (polynomes de Tchebyteff)

$$p(\lambda) = \frac{T_R\left(\frac{\lambda_1 + \lambda_d - 2\lambda}{\lambda_d - \lambda_1}\right)}{T_R\left(\frac{\lambda_1 + \lambda_d}{\lambda_d - \lambda_1}\right)}$$

$$T_R(t) = \cos(R \arccos(t)) \quad -1 \leq t \leq 1$$

Majoration erreur

$$\frac{\|a_R - a^*\|}{\|a_0 - a^*\|} \leq \frac{1}{T_R\left(\frac{\lambda_1 + \lambda_d}{\lambda_d - \lambda_1}\right)} \leq 2 \left(\frac{\sqrt{\kappa(A)} - 1}{\sqrt{\kappa(A)} + 1} \right)^R$$

$$\kappa(A) = \frac{\lambda_d}{\lambda_1} = \text{cond}(A)$$

Si $\kappa \gg 1$ reduction de $R =$

$$R \approx \frac{\sqrt{\kappa(A)}}{2} \ln \frac{2}{\epsilon} \quad \text{en } \sqrt{\kappa(A)}$$

$$\begin{aligned} |T_R(t)| \leq 1, \quad |t| \leq 1; \quad |T_R(t)| &= \frac{1}{2} (t + \sqrt{t^2 - 1})^R + \frac{1}{2} (t - \sqrt{t^2 - 1})^R \quad t \geq 1 \\ |T_R(t)| &\geq \frac{1}{2} (t + \sqrt{t^2 - 1})^R \end{aligned}$$

Preconditionnement :

remplacer $Ax=b$ par $M^{-1}Ax = M^{-1}b$

- ① $M^{-1}A$ " mieux conditionné " $\Rightarrow \kappa \approx \kappa$
- ② M " facile à inverser " $\uparrow \rightarrow$ compromis

Δ $M^{-1}A$ pas symétrique

si $M = S \circ P \Rightarrow M = LL^T$ et on remplace par

$$\hat{A} \hat{x} = \underbrace{L^{-1} A L^{-1}}_{SDP} \hat{x} = L^{-1} b = \hat{b}$$

mais on peut travailler avec A, M directement

on définit $\hat{x}_R = L^T x_R$; $\hat{p}_R = L^T p_R$;

Pour $\hat{r}_R = \hat{b} - \hat{A} \hat{x}_R = L^{-1} b - L^{-1} A L^T x_R$

$$L \hat{r}_R = b - A x_R = r_R \Rightarrow \hat{r}_R = L^{-1} r_R$$

[Pratique $\hat{r}_R = L^T z_R$; et $L^{-1} r_R = L^T z_R \Rightarrow M z_R = r_R$ (solve)]

Algo :

$$\hat{\alpha}_R = \frac{\hat{r}_R^T \hat{r}_R}{\hat{p}_R^T \hat{A} \hat{p}_R} = \frac{z_R^T L^T L^T z_R}{\hat{p}_R^T L^{-1} A L^T \hat{p}_R} = \frac{\cancel{L^T L^T} z_R^T z_R}{\hat{p}_R^T A \hat{p}_R} = \frac{z_R^T r_R}{\hat{p}_R^T A \hat{p}_R}$$

$$\hat{x}_{Rn} = x_R + \hat{\alpha}_R \hat{p}_R \Rightarrow x_{Rn} = x_R + \hat{\alpha}_R p_R$$

$$\hat{r}_{Rn} = \hat{r}_R - \hat{\alpha}_R L^{-1} A L^T \hat{p}_R \Rightarrow r_{Rn} = r_R - \hat{\alpha}_R A p_R$$

$$\hat{p}_{Rn} = \hat{r}_R +$$

$$\hat{\beta}_R = \frac{\hat{r}_{Rn}^T \hat{r}_{Rn}}{\hat{r}_R^T r_R} = \frac{r_{Rn}^T L^T L^T r_{Rn}}{r_R^T L^T L^T r_R} = \frac{z_{Rn}^T r_{Rn}}{z_R^T r_R}$$

$$\hat{p}_{Rn} = \hat{r}_R + \hat{\beta}_R \hat{p}_R \Rightarrow p_{Rn} = \underbrace{L^{-1} \hat{r}_R}_{z_R} + \hat{\beta}_R p_R$$

comme sans precondition, avec $M z_R = r_R$;

résoudre 1 prec. / étape

Rq Aussi avec nouveau pdt scalaire. $(\hat{x}, \hat{y})_M = y^T M x$

$M^{-1}A$ est sym $y^T M^{-1} A x = y^T A x$ sym

Exemples de preconditionneurs

"Simplifications" de A

- Coeff constants, ordre + bas, ...
↳ solveurs rapides
- Choleski / LU incomplet / polynôme
- Méthodes itératives (Jacobi / GS, block)
- Multigrille / DD

① le + simple $M = \text{diag}(A) = D_0$ $Mz = r \Rightarrow z_i = \frac{r_i}{d_{ii}}$

② SSOR pourquoi? $A = M - N$ $Ax = b$
 $Mx^{k+1} = Nx^k + b \Rightarrow Mx = Nx + b$
 $x - M^{-1}Nx = M^{-1}b$ $A = M - N, M^{-1}N = I - M^{-1}A$
 $M^{-1}Ax = M^{-1}b \rightarrow$ méthode itérative

SSOR $A = D - E - E^T$ $E =$ strict sous-diagonal

$M = (D - \omega E) D^{-1} (D - \omega E^T)$ $0 < \omega < 1$

Pas de calcul en +.

$Mz = r \Leftrightarrow (D - \omega E)y = r; \text{ puis } (D - \omega E^T)z = Py$

② Factorisation incomplète (ICCG(0))

si $A = L_n L_n^T$ "exact" "remplissage" de $L_n = A - \begin{bmatrix} \times & & \\ & \times & \\ & & \times \end{bmatrix} \Rightarrow L_n^T = \begin{bmatrix} \times & & \\ & \times & \\ & & \times \end{bmatrix}$

$L_{ij} = 0$ si $A_{ij} = 0$
 $A_{ij} = (L L^T)_{ij}$ si $A_{ij} \neq 0$

$A = LL^T + R$ avec $R_{ij} = 0$ si $A_{ij} = 0$

Per $A = \begin{bmatrix} \times & & \\ & \times & \\ & & \times \end{bmatrix} \Rightarrow L R^T = \begin{bmatrix} \times & & \\ & \times & \\ & & \times \end{bmatrix} + \begin{bmatrix} \times & & \\ & \times & \\ & & \times \end{bmatrix} \rightarrow R$ Compte rendu
Matlab

Existe pas toujours (M matrices)

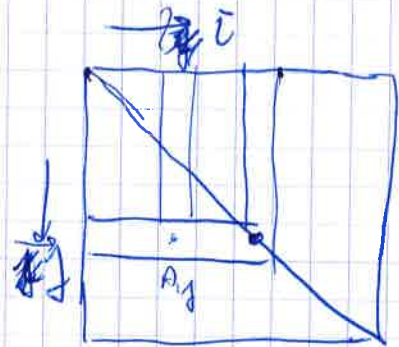
Algo ICCO (Δ structure matrix)

$$L = A \quad (= \text{tri}(A))$$

$$P = LL^T$$

```

for k = 1:n
    Lkk = sqrt(Lkk)
    for l = k+1:n
        if Akl ≠ 0 ←
            Lkl = Lkl / Lkk
        for j = k+1:n
            for l = j:n
                if Alj ≠ 0 ←
                    Llj = Llj - LlkLkj
            end
        end
    end
end
    
```



Ne change pas le conditionnement (mais améliore la répartition des vep)

Preconditionnement MIC(0) (Modified)

Assure $\sum_{j=1}^n M_{ij} = \sum_{j=1}^n A_{ij} \quad \forall i$ (somme ligne)

⇒ échoué sur sol^o régulière ≈ échoué de A

⇒ OK pour sol^o régulière, mais non sur sol. irreg.

changer l'algo

```

if Akk ≠ 0
    Lkl = Lkl / Lkk}
else
    Lkk = Lkk} +
    for l = k+1:n
        if Akl ≠ 0
            Llj = Llj - LlkLkj
        else
            Lll = Lll - LlkLkl
        end
    end
end
    
```

cond.^t réduit à $O\left(\frac{1}{n}\right) \Rightarrow \# \text{ ites} \approx \sqrt{n}$

DANS CERTAINS CAS

Extensions = Fill in level | ~~Seuil~~ -- cf STAD

Preconditionnement polynomial

$M^{-1} = S(A)$ Δ polynome "bas degré"
 \Rightarrow pas de factorisation //

Exemple : série Neumann

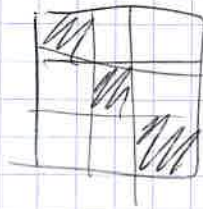
$$\omega A = I - (I - \omega A) \quad \omega \text{ tq } \rho(I - \omega A) < 1$$
$$(\omega A)^{-1} = \sum_{p=0}^{\infty} (I - \omega A)^p$$

$$\Rightarrow M_p = \sum_{q=0}^p (I - \omega A)^q = I + (I - \omega A) + (I - \omega A)^2 + \dots$$

Neus \rightarrow $s \in \mathbb{P}_p$ minimise $\max_{\lambda \in \sigma(A)} |1 - \lambda s(\lambda)| \rightarrow$ trop dur

\Rightarrow $\max_{\lambda \in E} |1 - \lambda s(\lambda)|, \quad \underline{\sigma(A) \subset E}$
cf Tchebycheff / Least squares

Bloc Jacobi



$$M = \text{bloc} \begin{pmatrix} D_1 & & \\ & \ddots & \\ & & D_n \end{pmatrix}$$

// "facile" mais peu efficace

Matrices creuses

- ① Stockage et calcul avec des matrices creuses
- ② Optimisation en Matlab (1)
- ② Parallélisme (distributed)

① Exemple

$$A = \begin{pmatrix} 1 & 0 & 0 & 2 & 0 \\ 3 & 4 & 0 & 5 & 0 \\ 6 & 0 & 7 & 8 & 9 \\ 0 & 0 & 10 & 11 & 0 \\ 0 & 0 & 0 & 0 & 12 \end{pmatrix}$$

Stockage "coordonnées" ou triplet ou IJ

IR = A	12	9	7	5	1	2	11	3	6	4	8	10
IR	5	3	3	2	1	1	4	2	3	2	3	4
JC	5	5	3	4	1	4	4	1	1	2	4	3

Sans ordre Nœux:

A	1	2	3	4	5	6	7	8	9	10	11	11
IR	1	1	2	2	2	3	3	3	3	4	4	5
JC	1	4	1	2	4	1	3	4	5	3	4	5

$$\text{Stockage} = 3 \times N^2$$

Nœux pointeurs vers le début de la ligne (IA, JA, JA)

IA pointeur vers le début des lignes

ligne i : entre $IA(i)$ et $IA(i+1) - 1$

Stockage Compressed Sparse Row (CSR)

AA	1	2	3	4	5	6	7	8	9	10	11	12
JA	1	4	1	2	4	1	3	4	5	3	4	5
IA	1	3	6	10	12	13						

Variants CSC (colonne)

DSR sans la diag

BSR / VBR (variable) block row → matrices bloc

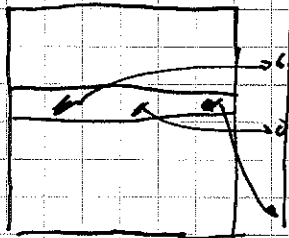
DIAG (pour matrices DS)

Operation:

Matrice

$$x \rightarrow y = Ax$$

Parcours par ligne.



for $i = 1 : n$

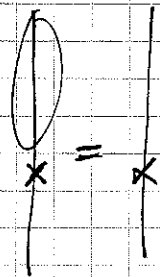
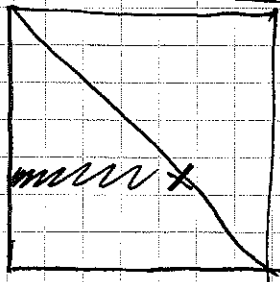
$$j1 = IA(i); \quad j2 = IA(i+1) - 1;$$

$$y_i = \sum_{j=j1}^{j2} A(i,j) X(JA(j))$$

↑
adressage indirect

Solution système triangulaire

diag = I



$$x_1 = b_1$$

for $i = 2 : n$

$$j1 = IA(i); \quad j2 = IA(i+1) - 1$$

$$x_i = \left(b_i - \sum_{j=j1}^{j2} A(i,j) X(JA(j)) \right) / A(i,i)$$

↑
adressage indirect + récurrence

TRES DAO VAO pour le cache!

peu d'opérations / données → 'memory bound'

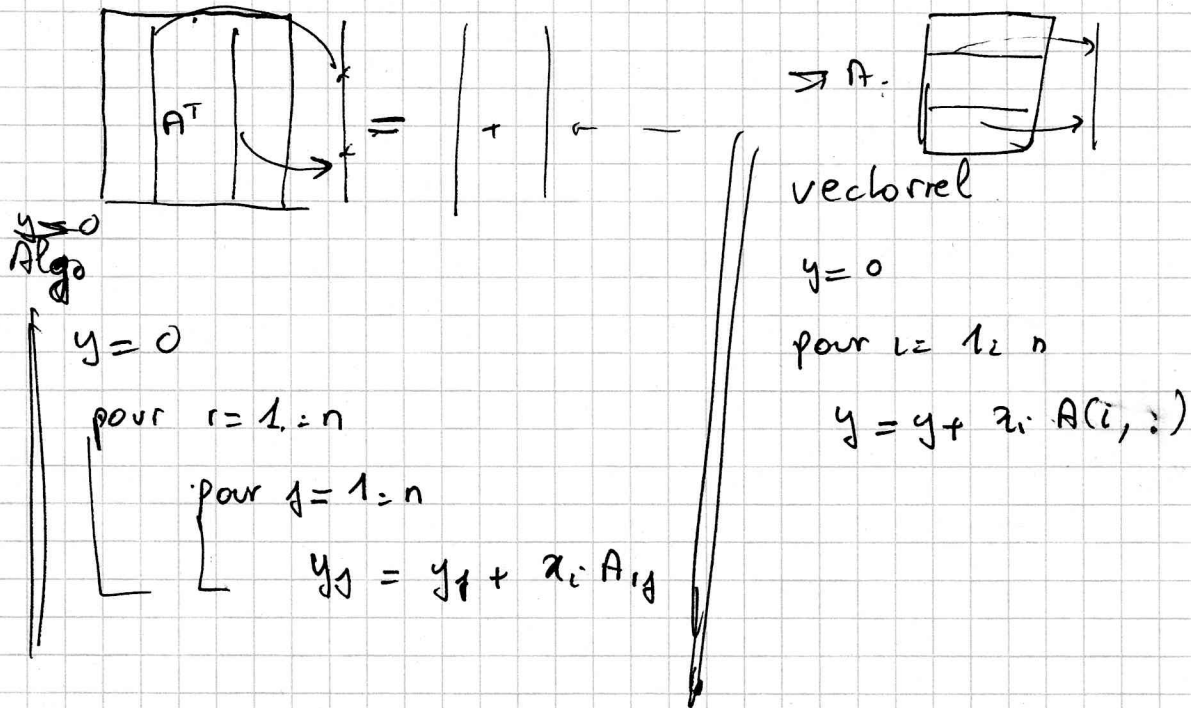
Solution $L^T x = b \rightarrow$ travailler par colonne

Produit $A^T x$, A CSR

① A "pleine", produit / colonnes \Rightarrow A par lignes

$$y = A^T x,$$

$$y_j = \sum_{i=1}^n A_{ji}^T x_i = \sum A_{ij} x_i = \sum_{i=1}^n x_i A_{ij} \quad j=1, n$$



② A CSR, A par ligne

$$y = 0$$

pour $l = 1: n$

pour $k = IA(i), IA(l+1) - 1$

$$y(jA(k)) = y(jA(k)) + x(i) A(k)$$

Cholesky incomplet pour matrice CSR

Cholesky pour une matrice pleine / ligne ('sur place')

pour $l = 1 = n$

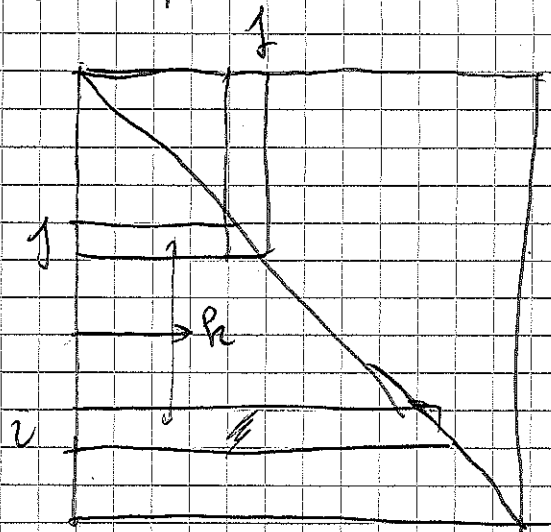
pour $j = 1 = i$

pour $k = 1 = j - 1$

$$A_{ij} = A_{ij} - A_{ik} A_{jk}$$

si $j = i$ $A_{ii} = \sqrt{A_{ii}}$

sinon $A_{ij} = A_{ij} / A_{jj}$



Matrice creuse symétrique, stockée format CSR, partie inférieure
Tableaux (IA, JA, AA)

Rappel : Les éléments de la ligne i sont stockés dans JA/AA
dans l'intervalle $[IA(i); IA(i+1)[$
et $j = JA(j) \Leftrightarrow AA(j)$ contient A_{ij} ^{ouvert!}

Pour "aligner" les éléments des lignes i et j en parcourant
la ligne j , on doit "inverser" le tableau JA

sur la ligne
 i

Pour cela on introduit IW Iq

$$IW(j) = j \quad \text{si } j \in [IA(i), IA(i+1)[, \quad j = IA(j)$$

$$= 0 \quad \text{sinon}$$

et $AA(IW(k))$ contient alors A_{ik}

Algorithm

For $I = 1 : N$

$IW(I) = 0$, $J = 1 : N$

$J1 = IA(I)$; $J2 = IA(I+1) - 1$;

For $JJ = J1 : J2$

$IW(JA(JJ)) = JJ$

For $JJ = J1 : J2$

$K1 = IA(JJ)$; $K2 = IA(JJ+1) - 1$

 For $KK = K1 : K2$

$IK = IW(JA(KK))$

 If $IK \neq 0$ Then

$AA(JJ) = AA(JJ) - AA(KK) \times AA(IK)$

 If $JJ = J2$ $AA(JJ) = \sqrt{AA(JJ)}$

 Else $AA(JJ) = AA(JJ) / AA(K2)$

Méthodes itératives pour les systèmes non symétriques

- GNRRES → Arnoldi + ~~LS~~ moindres carrés

= Autres BICG → BiCGStab; QNR, (FFQ)QR

① GNRES $A \in \mathbb{R}^{n \times n}$, inversible, $b \in \mathbb{R}^n$
 $\Rightarrow Ax = b \quad x \in \mathbb{R}^n$

A pas symétrique \Rightarrow pas de norme d'énergie

[Exemples advection diffusion]

$$\begin{cases} -\Delta u + \text{div}(\bar{q}u) = f & \text{dans } \Omega \\ u = 0 & \text{sur } \partial\Omega \text{ (ou autres)} \end{cases}$$

\Rightarrow Forme bilinéaire $a(u, v) = \int_{\Omega} \nabla u \cdot \nabla v + \int_{\Omega} \bar{q}u \cdot \nabla v = \int_{\Omega} \bar{q}u \cdot \nabla v$

a pas symétrique

Autres Navier Stokes, obs non linéaires vra Newton.
matrice Jacobienne pas symétrique

Définition de GNRRES

Rappel espace Krylov $K_R(r_0) = \text{vect}(r_0, Ar_0, \dots, A^{R-1}r_0)$

Itération k $x_k \in K_k$

$$\begin{cases} x_k \in x_0 + K_k(A) \\ x_k \text{ minimise } \|b - Ax_k\|_2 \\ \text{sur } x_0 + K_k \end{cases}$$

[Norme euclidienne]

Comme dans le cas symétrique :

$$x \in x_0 + K_R(r_0) \Rightarrow x = x_0 + \sum_{j=0}^{R-1} \alpha_j A^j r_0$$

$$\Rightarrow b - Ax = b - Ax_0 - \sum_{j=0}^{R-1} \alpha_j A^{j+1} r_0 = r_0 - \sum_{j=1}^R \alpha_{j-1} A^j r_0$$

C'est à dire si $x \in \mathbb{R}^n + V_k(r_0)$, alors le résidu:

$$r = b - Ax = p(A)r_0, \text{ pour } p \in P_k, p(0) = 1$$

polynôme deg $\leq k$

On en déduit la majoration; pour le résidu r_k de G-ARLS

$$\|r_k\|_2 \leq \min_{\substack{p \in P_k \\ p(0) = 1}} \|p(A)r_0\|_2$$

En particulier, pour tout polynôme $p \in P_k, p(0) = 1$:

$$\|r_k\|_2 \leq \|p(A)r_0\|_2 \leq \|p(A)\|_2 \|r_0\|_2$$

Une conséquence est que G-ARLS termine toujours en au plus n itérations.

On prend pour p le polynôme caractéristique de A

$$p(A) = \det(A - \lambda I) / \det(A) \quad [\det(A) \neq 0!]$$

⚠ résultat théorique uniquement

D'après le th. de Cayley Hamilton, $p(A) = 0 \Rightarrow \|r_n\| = 0$
et x_n est la solution



Mise en œuvre pratique

Supposons connue une base de $V_k(r_0)$, et notons V_k la matrice formée des vecteurs colonnes de cette base: $V_k = [v_1^k, \dots, v_k^k]$.

La solution à l'étape k s'écrit donc $x_k = x_0 + \sum_{j=1}^k y_j v_j^k$
($y \in \mathbb{R}^k$) $= x_0 + V_k y$

Et donc le problème à résoudre à chaque itération est

$$\min_{y \in \mathbb{R}^k} \|r_0 - AV_k y\|^2 \quad (\text{élevé au carré!})$$

(3)
Celle formulation est peu maniable pour au moins 2 raisons

- L'espace de Krylov $V_k(r_0)$ est un bon espace, mais la base "naturelle" $(r_0, Ar_0, \dots, A^{k-1}r_0)$ donne une matrice V_k très mal conditionnée (explication: méthode de la puissance!)

- Si la matrice V_k n'est pas orthogonale, la norme ne se simplifie pas.

On cherche donc une base orthonormée de $V_k(r_0)$. Ce la peut être réalisé par la méthode d'Arnoldi qui consiste à appliquer la méthode de Gram-Schmidt à la base naturelle. Une première version (NE PAS UTILISER, elle sera améliorée plus tard).

Arnoldi: $r_0 = b - Ax_0$, $v_1 = \frac{r_0}{\|r_0\|_2}$

Pour $j = 1, \dots, k$

$h_{jk} = (Av_j, v_j)$

$w_{jk} = Av_j$

Pour $j = 1, \dots, k$

$w_{jk} = v_{jk} - h_{jk} v_j$

$h_{k+1,k} = \|w_{k+1,k}\|$, si $h_{k+1,k} = 0$ STOP

$v_{k+1,k} = \frac{w_{k+1,k}}{h_{k+1,k}}$

Avant de poursuivre, notons que ^{si} cet algorithme se termine, on a trouvé la solution du problème.

Notons que, tant que $h_{k+1,k} \neq 0$, les vecteurs produits par l'algorithme sont orthogonaux (par construction)

(5)

lemme Dans l'algo. précédent, si $h_{R,R} = 0$
alors $x^* = A^{-1}b \in K_R(r_0)$

Preuve Par hypothèse, $AV_R = \sum_{j=1}^R h_{jR} v_j \in K_R(r_0)$, et
donc $AK_R(r_0) \subset K_A(r_0)$.

les colonnes de V_R forment une base (orthonormée) de $K_R(r_0)$ donc

$$AV_R = V_R H \quad \text{ou } H \text{ est une matrice } R \times R, \\ H \text{ inversible (puisque } A \text{ est)}$$

$$\text{On a donc } r_R = b - Ax_R = r_0 - \underbrace{A(z_R - z_0)}_{\in K_R(r_0)} \\ = r_0 - V_R H y \quad \text{pour } y \in \mathbb{R}^R$$

$\frac{r_0}{\|r_0\|}$ est le premier élément de $K_A(r_0)$, donc $r_0 = \|r_0\|_2 V_R e_1$.

$$\text{Donc } \|r_R\|_2 = \| \|r_0\|_2 V_R e_1 - V_R H y \|_2$$

comme V_R est orthogonale, on a $\|r_R\|_2 = \| \|r_0\|_2 e_1 - H y \|_2$

En choisissant y tq $H y = \|r_0\|_2 e_1$ (H est inversible)

on a donc $\|r_R\|_2 = 0$, et x_R est solution du problème
des $K_R(r_0)$ ▀

On peut donc supposer que l'algorithme d'Arnoldi ne s'arrête pas.

On définit la matrice $H_R \in \mathbb{R}^{R \times R}$ (rectangulaire) par

$$(H_R)_{ij} = (A v_j, v_i)$$

L'algorithme d'Arnoldi peut être résumé matriciellement:

$$\underline{AV_R = V_{R+1} H_R} \quad (\text{appel } H_R \text{ est } R \times R)$$

Cette relation, et l'orthogonalité de V_R permettent de simplifier le problème de marches carrées

On a en effet, avec les notations de la preuve du lemme (5)

$$r_0 = \|r_0\|_2 V_k e_1 = \beta V_k e_1, \quad \beta = \|r_0\|_2, \quad e_1 \in \mathbb{R}^{k+1}$$

$$\begin{aligned} b - Ax_k &= b - Ax_0 - A(x_k - x_0) = r_0 - A(x_k - x_0) \\ &= \beta V_k e_1 - AV_k y \end{aligned} \quad \text{pour } \underline{y \in \mathbb{R}^k, \text{ inconnue}}$$

et donc

$$= \beta V_k e_1 - V_k H_k y$$

$$\|b - Ax_k\|_2 = \|\beta V_k e_1 - H_k y\|_2 = \|\beta e_1 - H_k y\|_2$$

parce que V_k est orthogonale.

Le problème se ramène donc, à chaque itération, à

$$(MC)_k \quad \min_{y \in \mathbb{R}^k} \|\beta e_1 - H_k y\|_2$$

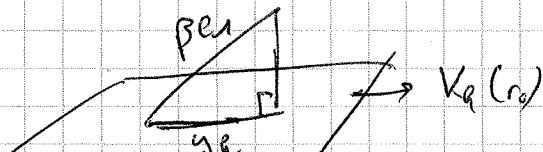
et rappelons que H_k est $k+1 \times k$, donc un système rechargé avec plus d'équations que d'inconnues.

Une fois ce problème résolu (voir plus bas) ~~l'itération~~ l'itération x_k se calcule par
$$\underline{x_k = x_0 + V_k y_k}$$

On voit une première différence importante avec le cas symétrique et défini positif : l'itération x_k fait intervenir tous les vecteurs v_j , $j=1, \dots, k$, et ces vecteurs sont aussi nécessaires pour Arnoldi. Le coût de l'itération k augmente avec k .

Résolution du problème de moindres carrés (MC)

Géométrique



Projection \perp
de βe_1 sur $K_k(r_0)$

Résolution par factorisation QR

Th général $\exists Q \in \mathbb{R}^{(n \times n)}$, Q orthogonale ($Q^T Q = Q Q^T = I$)
et $R \in \mathbb{R}^{n \times n}$, R triangulaire supérieure tq

$$M = Q R \begin{pmatrix} R \\ 0 \end{pmatrix} \leftarrow 1 \text{ ligne}$$

Démonstration constructive (Gram-Schmidt, ou Householder, ou Givens, voir plus loin).

Avec cette factorisation:

$$\begin{aligned} \|\beta e_1 - M y\|_2 &= \|\beta e_1 - Q \begin{pmatrix} R \\ 0 \end{pmatrix} y\|_2 \\ &= \|\beta Q^T e_1 - \begin{pmatrix} R \\ 0 \end{pmatrix} y\|_2 \quad Q \text{ orthogonale} \end{aligned}$$

En notant $w_n \in \mathbb{R}^n$ la première ligne de Q , on a, par Pythagore

$$\|\beta e_1 - M y\|_2^2 = \|\beta \tilde{w}_n - R y\|_2^2 + \beta^2 |(w_n)_{n+1}|^2$$

ou \tilde{w}_n comprend les n premiers éléments de w_n .

On en déduit =

1) Le vecteur y est solution de $R y = \beta \tilde{w}_n$
(R inversible !)

2) le "résidu" $\|\beta e_1 - M y\|_2 = \beta |(w_n)_{n+1}|$
et ceci est égal à $\|b - A a\|_2 = \|r\|_2$!!

⚠ coût de la résolution $O(k^3)$, pour la factorisation.
Si k n'est pas trop grand, et n grand, OK

Conséquences de l'arithmétique en précision limitée

La méthode exposée suppose que les calculs sont réalisés exactement, ~~et~~ si l'on programme Arnoldi sur un ordinateur, en arithmétique flottante (sur 64 bits, 15 chiffres décimaux) on constate que les vecteurs produits ne sont pas orthogonaux.

La modification suivante est donc fondamentale : on remplace l'algorithme de Gram-Schmidt par une version modifiée :

Arnoldi MAS

$$\begin{aligned} r_0 &= b - A x_0, & v_1 &= \frac{r_0}{\|r_0\|_2} & k &= 0 \\ k &= k+1 \\ \text{pour } w_{kn} &= A v_k \\ \text{pour } j &= 1, \dots, k \\ & \left[\begin{aligned} h_{jk} &= (w_{kn}, v_j) \\ w_{kn} &= w_{kn} - h_{jk} v_j \end{aligned} \right. \\ h_{kn,k} &= \|w_{kn}\|_2 \\ v_{kn} &= \frac{w_{kn}}{h_{kn,k}} \end{aligned}$$

La seule modification est de fusionner les 2 boucles sur j , ~~autrement dit~~ les 2 algorithmes sont mathématiquement équivalents, mais ont des comportements très différents en arithmétique flottante.

Le premier algorithme ne doit pas être utilisé

En incorporant un critère d'arrêt sur la norme du résidu, on obtient une première version "raisonnable" de GRRES

GRRES avec RES

$$r_0 = b - Ax_0, \quad v_1 = \frac{r_0}{\|r_0\|}, \quad e = \|r_0\|, \quad \beta = e, \quad h = 0$$

Tant que $e > \eta \|b\|_2$ et $h < h_{\max}$ faire

$$h = h + 1$$

$$v_{h+1} = Av_h$$

pour $j=1 \rightarrow h$

$$h_{jR} = (v_{h+1}, v_j)$$

$$v_{h+1} = v_{h+1} - h_{jR} v_j$$

$$h_{h+1,R} = \|v_{h+1}\|_2$$

$$v_{h+1} = v_{h+1} / h_{h+1,R}$$

$$e_1 = (1, 0, \dots, 0)^T \in \mathbb{R}^{h+1}$$

minimiser $\|\beta e_1 - H_R y_R\|_2^2$, pour obtenir $y_R \in \mathbb{R}^R$

$$e = \|\beta e_1 - H_R y_R\|$$

$$x_h = x_0 + V_R y^R$$

Coût d'une itération =

1 produit matrice vecteur Av_h

h produits scalaires (de taille n)

h "SAXPY" (~~$v_{h+1} - h v_j$~~), taille n

1 pb (MC) taille $h \rightarrow O(h^3)$

|| Cette dernière étape peut être améliorée.

Poissgrille

- Intro bla bla, idée

- Problème modale, analyse spectrale

Pb Dirichlet 1D/2D

(1D) $[-u'' = f \quad 0 < x < 1, u(0) = u(1) = 0$

Valeurs propres de $-u'' = \lambda u$
 $u_k(x) = \sqrt{\frac{2}{\pi}} \sin(k\pi x) \quad k=1, \dots, \infty, \lambda_k = k^2 \pi^2$

Discretisation Bon DP $x_l = lh, l=0, \dots, n+1 \quad x_0=0, x_{n+1}=1$

$h = 1/n+1$

$Ax = b$

$A = \begin{pmatrix} 2 & -1 & & \\ -1 & 2 & & \\ & & \ddots & \\ & & & 2 \end{pmatrix}, b = h^2 \begin{pmatrix} f(x_1) \\ f(x_2) \\ \vdots \\ f(x_n) \end{pmatrix}$

PREV/EW de A:

$\lambda_k = 4 \sin^2 \frac{\theta_k}{2}$

$\theta_k = \frac{k\pi}{n+1}$

$w_k = \begin{pmatrix} \sin \theta_k \\ \sin 2\theta_k \\ \vdots \\ \sin n\theta_k \end{pmatrix} = \begin{pmatrix} \sin(k\pi x_1) \\ \vdots \\ \sin(k\pi x_n) \end{pmatrix}$

cf Fig 13.1 Saad

En 2D $-\Delta u = f \quad]0,1[\times]0,1[\quad h = \frac{1}{n+1}, (m,n) = (n,n)$

Matrice

$A = \begin{pmatrix} B & & & \\ & \ddots & & \\ & & B & \\ & & & \ddots \end{pmatrix} \quad B = \begin{pmatrix} 5 & -1 & & \\ -1 & 4 & & \\ & & \ddots & \\ & & & 4 \end{pmatrix}$

Valeurs propres

$\lambda_{kp} = 4 \left(\sin^2 \frac{k\pi}{2(m+1)} + \sin^2 \frac{p\pi}{2(n+1)} \right)$

valeurs propres $z_{kp}(x_i, y_j) = \sin(k\pi x_i) \sin(p\pi y_j)$

Analyse spectrale des méthodes itératives

Richardson

$x_{k+1} = x_k + \omega(b - Ax_k) \quad (\text{gradient a pas fixe})$
 $= \underbrace{(I - \omega A)}_{M_\omega} x_k + \omega b$

Convergence $0 < \omega < 2 / \rho(A) = 2 / \lambda_n$

En pratique $\delta \gg \rho(A)$, $\omega = \frac{1}{\delta} \leq \frac{1}{\rho(A)} \leq \frac{2}{\lambda_n}$ ou $\omega = \frac{1}{4}$

VP de la matrice d'itération sont $1 - \omega \lambda_k = 1 - 4\omega \sin^2 \frac{\theta_k}{2}$

Erreur décroît comme $\|e_k\| = \Pi_{\omega}^k e_0$ $e_0 = z_0 - x^*$

Développement de e_0 sur base des EV: $e_0 = \sum_{j=1}^n \xi_j w_j \rightarrow e_k = \sum_{j=1}^n \left(1 - \frac{\omega \lambda_j}{\lambda_j}\right)^k \xi_j w_j$

Chaque composante réduite par $\left(1 - \frac{\omega \lambda_j}{\lambda_j}\right)^k$

+ petit facteur = $|1 - \omega \lambda_2|$
+ gd = $|1 - \omega \lambda_n|$

$\rightarrow 1 - \frac{\omega \lambda \sin^2 \frac{\pi}{2(nh)}}{2(nh)} \approx 1 - \omega \pi^2 h^2$ ($\omega = \frac{1}{4}$)
 $h \rightarrow \frac{h}{2}$

Nbr itérations $\left| \frac{e_k}{e_0} \right| \approx 10^{-p} = (1 - \omega \pi^2 h^2)^k$
 $= \frac{1}{4} \omega \pi^2 h^2$

$\gamma \approx \frac{\ln 10}{\omega \pi^2} p(nh)^2$ / $n \rightarrow 2n \Rightarrow \gamma$ multiplie par 4!!

MAIS l'erreur décroît vite pour certains composants, cf Fig 13.2

Haute fréquence: $h > \frac{n}{2}$

réduction $\lambda_k = 1 - \omega \lambda \sin^2 \frac{k\pi}{2(nh)}$, pour $\omega = \frac{1}{4}$

$= 1 - \sin^2 \frac{k\pi}{4(nh)} = \cos^2 \frac{k\pi}{2(nh)} \leq \frac{1}{2}$ cf Fig 13.2 etc.

Réduction pour VP oscillants, indépendante de h ($= 1/2$)

GRILLE GROSSE Taille $2h$, $M = 2h$

n impair $x_i^{2h} = i(2h) / x_i^{2h} = x_{2i}^h$

$\xi \leq \frac{n}{2}$ $w_{\xi}^h(x_{2i}^h) = \sin(\xi \pi x_{2i}^h) = \sin(\xi \pi x_i^{2h}) = w_{\xi}^{2h}(x_i^{2h})$

node "Pisse" sur grille fine, "injecté" sur grille grossiere donne le même node sur grille grossiere. (pour $h \leq \frac{n}{2}$)

[cf. Fig 13.3

Pour n impair, le node $w_{\frac{n+n}{2}}^h$ devient le node lit oscillant
cf

Generalisation: Jacobi relaxe

Jacobi $x_{k+1} = x_k + D^{-1}(E + E^T)x_k + D^{-1}b$

Relaxe $x_{k+1} = \omega(D^{-1}(E + E^T)x_k + D^{-1}b) + (1-\omega)x_k$
 $= J_\omega x_k + \beta_\omega$

$J_\omega = (1-\omega)I + \omega D^{-1}(E + E^T); \beta_\omega = \omega D^{-1}b$
Avec $E + E^T = D - A, \underline{J_\omega = I - \omega D^{-1}A}$

Si A SPD carce si $0 < \omega < \frac{2}{\rho(D^{-1}A)}$

Cas nodale $\begin{cases} 1D, & D = 2I \\ 2D & D = 4I \end{cases} \Rightarrow J_\omega = I - \frac{\omega}{2}A$ comme Richardson

Cas 1D $s = \sin \frac{\pi}{2(n+1)}$; $\mu_{r,l} \in \sin^2 \frac{r\pi}{2(n+1)} \in [s^2, 1-s^2]$

? $\begin{cases} \mu_r(\omega) = 1 - 2\omega \sin^2 \frac{r\pi}{2(n+1)} \\ \mu_{r,l}(\omega) = 1 - \omega \left(\sin^2 \frac{r\pi}{2(n+1)} + \sin^2 \frac{l\pi}{2(n+1)} \right) \end{cases}$

$1 - 2\omega + 2\omega s^2 \leq \mu_r(\omega) \leq 1 - 2\omega s^2$

Choix de ω ? Rayon spectral $\rho(J_\omega) = \max(|1 - 2\omega + 2\omega s^2|, |1 - 2\omega s^2|)$
Si $\omega = \frac{2}{3}$ vp entre $-\frac{1}{3}$ et $\frac{1}{3}$ le mieux possible
pour $h > \frac{h}{2}, (\sin^2 \theta_r \geq \frac{1}{2})$

Idem en 2D, meilleur $\omega = 4/5$

Gauss-Seidel plus compliqué (PS16-512C) Ex 3 ?

~~Restriction - prolongation~~

~~Prolongation: $I_H^h: \Omega_H \rightarrow \Omega_h$~~

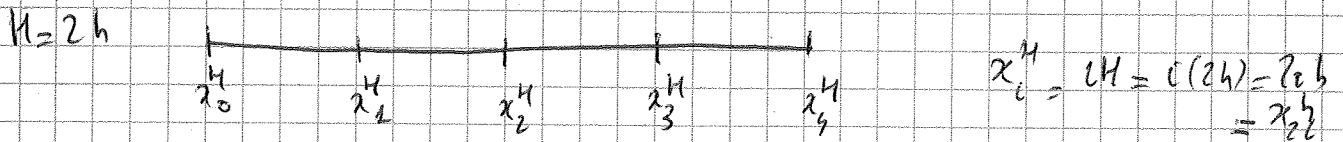
~~Restriction: $I_h^H: \Omega_h \rightarrow \Omega_H$~~

(4)

Operateurs intégrales. Restriction / prolongation

Galle $\Omega_h = x_0=0 < x_1=h < \dots < x_n=1$, $x_l = lh$, $l=0, \dots, n-1$
 ↳ grille fine n impair

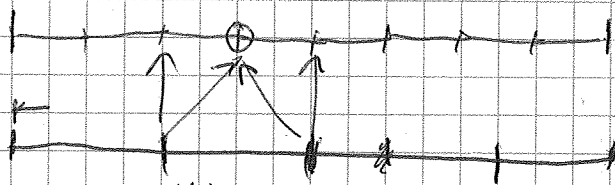
Grille grossière Ω_H $H=2h$ 1 point / 2.



En général $\Omega_H = x_l^H$, $l=0, \dots, \frac{n-1}{2}$

Opérateur de prolongation: $p: \Omega_H \rightarrow \Omega_h$

Choi le + simple = interpolation linéaire



vecteur sur Ω_H : $(v_j^H)_{j=0, \dots, \frac{n-1}{2}}$ $v_0^H = v_{\frac{n-1}{2}}^H = 0$

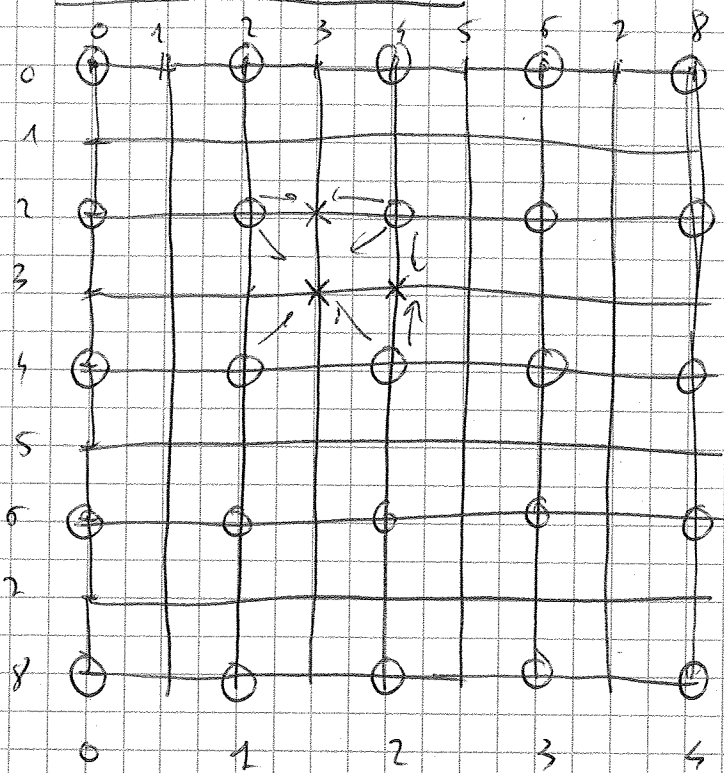
$$\begin{cases} (pv^H)_j^h = \frac{1}{2} (v_j^H + v_{j+1}^H) \\ (pv^H)_j^h = v_j^H \end{cases} \quad j=0, \dots, \frac{n-1}{2}$$

Matrice de p :

$$\begin{matrix}
 & \begin{matrix} 1 \\ 2 \\ 1 \\ 1 \\ 2 \\ 1 \\ 1 \\ 2 \\ 1 \end{matrix} \\
 \begin{matrix} 1 \\ 2 \end{matrix} & \begin{bmatrix}
 1 & & & & & & & & \\
 & 2 & & & & & & & \\
 & & 1 & 1 & & & & & \\
 & & & & 2 & & & & \\
 & & & & & 1 & 1 & & \\
 & & & & & & & 2 & \\
 & & & & & & & & 1 \\
 & & & & & & & & & 2 \\
 & & & & & & & & & & 1
 \end{bmatrix}
 \end{matrix}
 \quad \begin{matrix} \uparrow \\ \downarrow \end{matrix} \quad n$$

Generalisation en 2D

Generalisation en 2D



$$V_{2i,2j}^h = V_{ij}^H$$

$$V_{2i+1,2j}^h = \frac{1}{2} (V_{ij}^H + V_{i+1,j}^H)$$

$$V_{2i,2j+1}^h = \frac{1}{2} (V_{ij}^H + V_{i,j+1}^H)$$

$$V_{2i+1,2j+1}^h = \frac{1}{4} (V_{ij}^H + V_{i+1,j}^H + V_{i,j+1}^H + V_{i+1,j+1}^H)$$

$$l = 0, -\frac{n-1}{2} ; j = 0, -\frac{n-1}{2}$$

(y compris bord)

Restriction $r: \Omega_h \rightarrow \Omega_H$

Choix naturel = injection simple

$$\begin{array}{l} \Omega_h \rightarrow \Omega_H \\ v^h \rightarrow v^H = r v^h, \quad v_i^H = v_{2i}^h \quad i = 0, -\frac{n-1}{2} \end{array}$$

mais en general meilleur choix: "Full weighting"

$$v_i^H = \frac{1}{4} (v_{2i-1}^h + 2v_{2i}^h + v_{2i+1}^h) \quad i = 0, -\frac{n-1}{2}$$

moyenne locale $\begin{pmatrix} 1 & 1 & 1 \\ 1 & 2 & 1 \end{pmatrix}$

Matrice = $\frac{1}{4} \begin{bmatrix} 1 & 2 & 1 & & & \\ & 1 & 2 & 1 & & \\ & & & & 1 & 2 & 1 \end{bmatrix}$

En 2D moyenne sur 9 points - Stencil

$$\frac{1}{16} \begin{bmatrix} 1 & 2 & 1 \\ 2 & 4 & 2 \\ 1 & 2 & 1 \end{bmatrix}$$

Remarque

$$1D \quad p = z r^T$$

$$2D \quad p = \frac{1}{2} r^T$$

⚠ En general, on essaie d'avoir $p = r^*$ (operateur adjoint)

L'adjoint depend du produit scalaire, et c'est bien ce que l'on observe plus haut.

Prod scalaire sur Ω_h $(u^h, v^h) = h \sum_{l=1}^2 u_l v_l = h \vec{u}^T \vec{v}$

Facteur "h" pour que $(u^h, v^h) \sim \int_{\Omega} uv dx$

sur la grille grossiere $H = 2h$, $(u^H, v^H) = H \sum_{l=1}^{n/2} u_l^H v_l^H = 2h \vec{u}^T \vec{v}$

So $u^h \in \Omega_h$, $v^H \in \Omega_H$

$$(u^h, p v^H) = h (u^h)^T (p v^H) = h (u^h)^T z r^T v^H$$

$$= (2h) (u^h)^T r^T v^H = H (r u^h)^T v^H = (r u^h, v^H)$$

\Rightarrow $p = r^*$

Note le cas des elements finis sera traite plus loin

Definition de l'operateur "grossier"

Dans le cas du probleme nodal, de fonction nœuds de A_h (DF sur grille de pas H).

En general (mais pas toujours), on definit A_H par

$$A_H = r A_h p$$

Avantage : so A_h symetrique $\Rightarrow A_H = p^* A_h p$ aussi

Dans le cas du problème modèle, les 2 définitions coincident (exercice !)

La méthode 2 grilles.

Ingredient : un "lisseur" (méthode itérative classique) on prend l'exemple de Richardson.

On note S la matrice d'itération ($S = I - \omega A$)

Après plusieurs itérations de lissage, l'erreur ω "bien choisi" (et le résidu) sont des fonctions lisses (= basse fréquence)

\Rightarrow on les "regarde" sur la grille grossière, et on résout l'équation de correction $A_C = d$ sur Ω_H , puis on "remonte" le résultat

- u_0^h donne
- 1) Pre-lissage $u^h = S^{2k_1} u_0^h$ (+ "2nd membre"), k_1 itérations
- 2) Résidu $d^h = b^h - A_h u^h$
- 3) Restriction $d^H = r d^h$
- 4) Correction grossière $e^H = A_H^{-1} d^H$
- 5) Prolongation $v^h = u^h + p e^H$
- 6) Post lissage $u_{new}^h = S^{2k_2} v^h$ (+ "2nd membre"), k_2 itérations

Matrice d'itération : Itérations linéaires, on prend $b^h = 0$

- 1) $u^h = S^{2k_1} u_0^h$, 2) $d^h = -(A_h S^{2k_1}) u_0^h$, 3) $d^H = -(r A_h S^{2k_1}) u_0^h$
- 4) $e^H = -(A_H^{-1} r A_h S^{2k_1}) u_0^h$, 5) $v^h = S^{2k_1} u_0^h - p A_H^{-1} r A_h S^{2k_1} u_0^h$

6) Finalement

$$M_h^M = S^{2k_2} (I - p A_H^{-1} r A_h) S^{2k_1}$$

On note $M_h = S^2 T_h S^{-2}$, $T_h = I - \rho A_h^{-1} r A_h$

Correcteur de grille grossiere

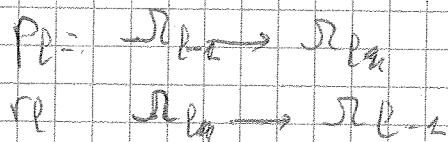
Methode multigrille

Suite de grilles $\Omega_p, p=0, \dots, L$

$\Omega_L =$ niveau fin, pb original $Ax=b \rightarrow A_L x_L = b_L$

$\Omega_p \subset \Omega_{p+1}$, on note h_p la "maille" sur Ω_p

operateur intergrille



Souvent (pas toujours) $h_{p+1} = 2h_p$

$P_p = r_p^*$
 $A_{p+1} = r_p A_p P_p$

Idee (du V-cycle) Au lieu de resoudre exactement sur la grille grossiere, on applique recursivement le meme algorithme.

V-cycle (p, u_0^p, b^p)

0) L si $p=0$ $u_{new}^p = A_0^{-1} b^p$, return

1) $\tilde{u}^0 = u_0^p$, for $i=0, \dots, \nu-1: z^{i+1} = Sz^i + g$ (Lissage)

2) $d^p = b^p - A_p z^\nu$

3) $\hat{d}^{p+1} = r_p d^p$

restriction

4) $e^{p+1} = \text{V-cycle}(p+1, 0, \hat{d}^{p+1})$

appel recursif

5) $\hat{z}^{p+1} = z^\nu + A_p e^{p+1}$

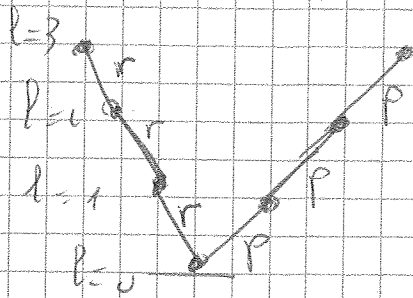
correction/prolongation

6) $z^0 = \hat{z}^{p+1}$, for $i=0, \dots, \nu-1: z^{i+1} = Sz^i + g$ post lissage

return z^ν

le 4) est un appel recursif L'algo termine a cause de 0)

Illustration V-cycle



Coût d'1. itération de V-cycle :

- n_l nbre éléments sur grille niveau l
 - en 1D $n_l \approx 2 n_{l-1}$
 - en 2D $n_l \approx 4 n_{l-1}$
- nbre $z_{l-1} \neq 0$ dans A_l $n z_{l-1} \approx \alpha n_l$
(α Laplacien $\alpha \approx 3$ en 1D, 5 en 2D,)
- Coût d'une itération passage $\approx n z_{l-1} \leq \alpha n_l$
- prolongation / restriction $\leq \beta n_l$

Au niveau l , le coût est $C_l \approx (\underbrace{\alpha(n_l + n_{l-1})}_{\text{passage}} + \underbrace{\beta}_{\text{r/p}}) n_l + \underbrace{C_{l-1}}_{\text{appel récursif}}$

En 1D $C_l \approx \eta n_l + C_{l-1}$

avec $n_l \approx 2^l$

$$C_l = \eta 2^l + C_{l-1} \rightarrow C_l \approx C_0 + \eta \sum_{j=0}^{l-1} 2^j = C_0 + \frac{2^l - 1}{2 - 1} \eta$$

$$C_l \approx 2^l \eta \approx 2 \eta n_l$$

En 2D idem avec $n_l \approx 4^l \Rightarrow C_l \approx \frac{4}{3} \eta n_l$

Le coût d'1 itération est proportionnel au nombre d'inconnues

Algo multigrille δ -cycle general

Dans le V -cycle, on remplace l'étape $\frac{1}{2}$ par

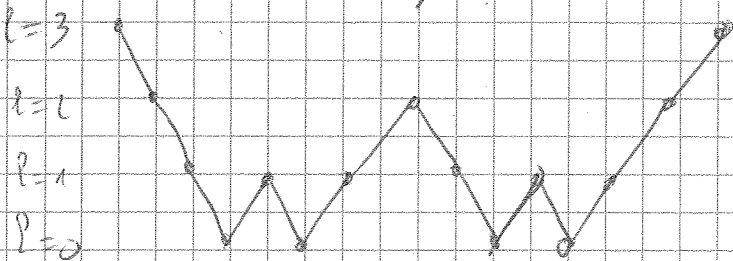
$$e^0 = 0$$

$$\left[\text{for } l=0, \dots, \delta-1, e^{l+1} = \delta\text{-cycle}(l, e^l, \delta^{l+1}) \right]$$

et l'étape $\frac{5}{4}$ devient $\underline{v^0 = z^0 + p_0 e^{\delta}}$

En pratique on utilise $\delta=1 \rightarrow V$ -cycle (cf + haut)
ou $\delta=2$ W-cycle.

Illustration du W cycle ($L=3$)



Complexité du δ -cycle (coût d'1 itération):

Pi hypothèse que pour V -cycle.

$$C_l = \eta n_l + \delta C_{l-2} \quad (\delta \text{ appels récursifs})$$

En 3d dimensions, $n_l \approx \frac{4}{3} l^3$. Calcul par une somme en cascade. ($\delta < 4$)

$$C_L = \eta \frac{4}{3} L^3 + \delta C_{L-2}$$

$$\delta C_{L-2} = \eta \delta \frac{4}{3} (L-2)^3 + \delta^2 C_{L-4}$$

$$\Rightarrow C_L \approx \eta \frac{4}{3} L^3 \left(1 + \left(\frac{\delta}{4}\right)^{L/2} \right) + \delta^L C_0$$

$$\delta^{L/2} = \eta \delta^{L/2} \frac{4}{3} + \delta^L C_0$$

$$C_L \approx \eta \left(\frac{4}{3}\right) \frac{1}{4-\delta} + \delta^L C_0$$

$$\delta=1 \text{ (algo vu)} \approx \frac{4}{3} \eta n_L + C_0$$

n_L = nbre de DOFs sur la grille l + fine

$$\delta=2 \text{ W-cycle} \approx 2\eta n_L + \delta^L C_0$$

Coût $\approx \eta C_k \times$ nbre pts sur grille fine.

Pour $\delta = \frac{1}{2}$ $C_k = C_0 + \eta^k \leq \delta \approx C_0 + \eta \log n$

Cost \approx Nbre d'inconnues pour 1 cycle

Matrice d'itération du cycle MG général

Intermede: méthode itérative (preconditionnement):

$x^k, r^k = b - Ax^k, \tilde{A}$ inverse approché, $\tilde{A}^{-1} r^k = \delta^k$ et

$x^{k+1} = x^k + \delta^k = x^k + \tilde{A}^{-1} (b - Ax^k)$

On part avec $x_0 = 0$ $= (I - \tilde{A}^{-1} A) x^k + \tilde{A}^{-1} b = M x^k + \tilde{A}^{-1} b$

recurrence: $x^k = (I + M + \dots + M^{k-1}) \tilde{A}^{-1} b$

$= (I - M^k) (I - M)^{-1} \tilde{A}^{-1} b$

et on a $M = I - \tilde{A}^{-1} A \Rightarrow (I - M)^{-1} \tilde{A}^{-1} = A^{-1}$

$\rightarrow x^k = (I - M^k) A^{-1} b$

on "remplace" A^{-1} par $(I - M^k) A^{-1}$

Application à la matrice du cycle MG

M_h matrice niveau h, M_H

Dans la matrice à 2 grilles, on remplace A_H^{-1} par $(I - M_H^\delta) A_H^{-1}$

ça donne

$M_h = S_h^{1/2} [I_n - I_H^h (I_H - M_H^\delta) A_H^{-1} I_H^h A_h] S_h^{1/2}$

$M_h = M_H^h + S_h^{1/2} I_H^h M_H^\delta A_H^{-1} I_H^h A_h S_h^{1/2} = \text{perturbation de 2-grilles}$

Full-multigrid (= itérations emboîtées)

Obtenir une estimat pour l'itér initial en partant de la grille grossa

FTMG: $h = h_0$, résoudre $A_{h_0} u^0 = f^h$

Pour $k=1, \dots, p$
 $u^{h/k} = \hat{I}_n^{h/k} u^h; h = h/k$
 $u^h = M_h^{\mu} (A_h, u^h, f^h, \nu_1, \nu_2, \delta) \quad \mu=1 \dots (p-1)$

Full multigrille.

Idée. Obtenir une estimation pour P à l'échelle la plus grossière M_0 , en partant de la grille la plus fine.

\hat{P}_L opérateur de prolongation, (ordre élevé que P)

Algorithme FFG

~~$P=0$~~ résoudre $A_0 u^0 = f^0$ (exact)

pour $l=0, \dots, L-1$

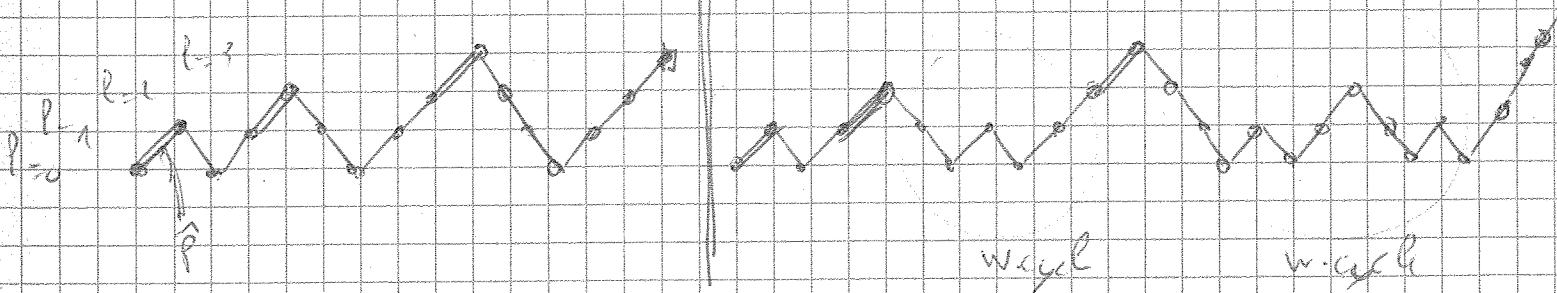
$\hat{u}^l = \hat{P}_l u^{l+1}$

$u^l = (MG)^{\mu}(\hat{u}^l, f^l, \nu, \nu, \tau)$ [μ itérations]

Illustration

V-cycle

W cycle



Convergence de la méthode multigrille

Orientation

- 1) La convergence de la méthode 2-grille, implique la cv du δ -cycle ($\delta \geq 2$) [V-cycle exclu]
- 2) Pour la méthode 2-grille, décomposition de la matrice d'itération, 2 propriétés
 - Smoothing property \rightarrow Pisseur, algèbre
 - Approximation ppty \rightarrow Relation entre les niveaux Th des EF/admiss
- 3) Résultat vrai pour V-cycle admiss
- 4) Approx optimal pour le Full DC



On parle de convergence indépendante du nombre de niveaux. On montre que la norme (norme 2) de la matrice d'itération est bornée indépendamment de l

- ① Cvec 2-grilles \rightarrow Cvec W-cycle
- Cadre variationnel. $A = P_0^*$, $A_{l+1} = P_l^* A P_l$
- Hypothèse \exists constantes (l -indep) C_0, C_1, C_2
- ① $C_0 \|v\| \leq \|A v\| \leq C_1 \|v\| \quad \forall v \in V_0, V_l$
- ② $\|S^l v\| \leq C_2 \|v\| \quad \forall v \in V_l, \forall l$

Pour simplifier, on considère seulement le cas du 'pre-smoothing', $V_1 = V$, $V_2 = 0$, et du W-cycle $\delta = 2$

Thm 1 Convergence du W-cycle.

On suppose que la matrice de la méthode 2 grille vérifie

$$\|M_{p-1}^l\| \leq \eta(\nu) < 1, \text{ avec } \lim_{\nu \rightarrow \infty} \eta(\nu) = 0$$

Alors, $\exists \bar{\nu}$ tq $\nu \geq \bar{\nu} \Rightarrow \|M_p\| \leq 2\eta(\nu)$

Ce résultat dit: cv méthode 2 grille \Rightarrow cvc W-cycle

Démonstration Par récurrence sur l

$l=0$ évident (méthode directe)

Soit $S_p = \|M_p\|$. D'après la récurrence sur M_p :

$$M_p = M_{p-1}^l + P_l M_{p-1}^{l-1} A_{p-1}^{-1} P_l^* A_p S_p^{l-1}$$

Par hyp $\|M_{p-1}^l\| \leq \eta(\nu)$

On remarque que $P_l A_{p-1}^{-1} P_l^* A_p S_p^{l-1} = S_p^l - M_{p-1}^l$
 et donc $\| \dots \| \leq C_s + 1$

$$\begin{aligned} \text{puis } \|P_l M_{p-1}^{l-1} A_{p-1}^{-1} P_l^* A_p S_p^{l-1}\| &\leq C_p S_{p-1}^{l-1} \|A_{p-1}^{-1} P_l^* A_p S_p^{l-1}\| \\ &\leq C_p C_p S_{p-1}^{l-1} \|P_l A_{p-1}^{-1} P_l^* A_p S_p^{l-1}\| \\ &\leq C_p C_p (C_s + 1) S_{p-1}^{l-1} = C^* S_{p-1}^{l-1} \end{aligned}$$

Finalement $S_p \leq \eta(\nu) + C^* S_{p-1}^{l-1}$ et $S_1 \leq \eta$ (hyp)

Si $\bar{\nu}$ tq $\eta(\nu) \leq \frac{1}{4C^*}$ pour $\nu \geq \bar{\nu}$ alors $\eta + 4C^* \eta^2 \leq 2\eta$

Par récurrence, $S_{p-1} \leq 2\eta \Rightarrow S_p \leq \eta + C^* (2\eta)^{l-1} \leq 2\eta$ et cv pour $l=1$

COFD

Analyse de la méthode 2 grille

① "Smoothing property". Mesur de la "smoothness" d'une fonction
 $\|Ae v\|_2 = (\sum_j \lambda_j |v_j|^2)^{1/2}$ (cf modèle problème, Fourier)

Heuristique

$$\|Ae S_e^v e\| \ll \|e\|$$

$$\Rightarrow \exists \eta(v), \lim_{v \rightarrow \infty} \eta(v) = 0 \text{ tq } \|Ae S_e^v\|_2 \leq \eta(v) \|Ae\|_2 \quad (SP)$$

Vrai pour Richardson. $S_e = I - \omega A_e$ $\omega = \frac{1}{\|Ae\|_2}$

$$Ae S_e^v = Ae (I - \omega A_e)^v = \frac{1}{\omega} B_e (I - B_e)^v \text{ avec } B_e = \omega A_e$$

Lemme $\|B_e (I - B_e)^v\|_2 \leq \eta_0(v)$, si $\|B_e\| \leq 1$, et B_e SPD

$$\eta_0(v) = \frac{v^v}{(v+1)^v} \sim \frac{1}{e v} + O\left(\frac{1}{v^2}\right) \quad v \rightarrow \infty$$

Dem soit $f(\lambda) = \lambda(1-\lambda)^v$ Comme B_e est SPD

$$\|B_e (I - B_e)^v\|_2 = \max_{\lambda \in \sigma(B_e)} |f(\lambda)|$$

$$\forall \lambda |f(\lambda)| \leq f\left(\frac{1}{1+v}\right) \leq \eta_0(v) \text{ (calcul)}$$

$$\text{Enfin } \frac{v^v}{(v+1)^v} = \left(\frac{v}{v+1}\right)^v \cdot \frac{1}{v} = \frac{1}{\left(1+\frac{1}{v}\right)^v} \cdot \frac{1}{v} \sim \frac{1}{e v}$$

Donc $\|Ae S_e^v\| \ll \|Ae\| \eta_0(v) \Rightarrow (SP)$ OK pour Richardson

② Approximation property

$$\|Ae^p - P A_{e-1}^p P^k\|_2 \leq \frac{C_0}{\|Ae\|} \text{ pour } p \geq 1 \quad (AP)$$

La preuve de vient de l'analyse d'erreur par éléments finis et sera admise ici cf livre de Hackbusch

On définit l'opérateur de restriction par $r = P^*$

La définition du pdt scalaire est celle induit par L^2 sur chaque grille.

Définition des opérateurs à chaque niveau

$$A_{p-1} = r_p A_p P_p = P_p^* A_p P_p$$

de sorte que l'on a bien, pour $u_{p-1}, v_{p-1} \in V_{p-1}$ ($\subset V_p$)

$$\begin{aligned}
a(u_{p-1}, v_{p-1}) &= a(u_p, v_p) = V_p^T A_p U_p \\
&= (P_p V_{p-1})^T A_p (P_p U_{p-1}) \\
&= V_{p-1}^T \underbrace{P_p^T A_p P_p}_{A_{p-1}} U_{p-1} = V_{p-1}^T A_{p-1} U_{p-1}
\end{aligned}$$

et on a la représentation du problème variationnel à chaque niveau.

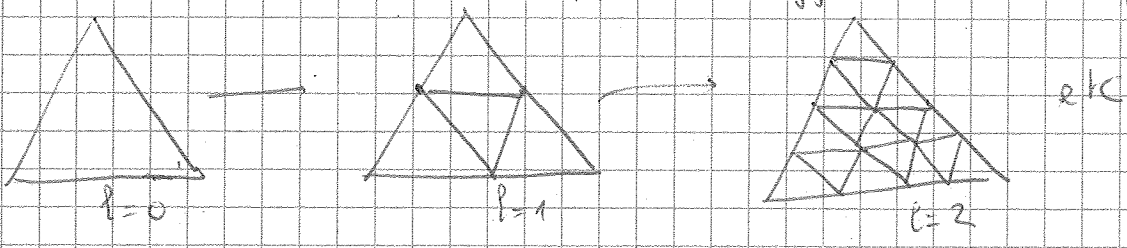
Le cas des éléments finis

Cadre pb elliptique $V = H_0^1(\Omega)$ (par exemple)
 $L: V \rightarrow R$ linéaire continue
 $a: V \times V \rightarrow R$ bilinéaire, continue, coercive
 $u \in V, a(u, v) = L(v), \forall v \in V$ (Lax-Milgram)

Famille de sous espaces $V_p \subset V$

Hyp $V_{p-1} \subset V_p$

En pratique, on part d'une grille grossière, raffinée plusieurs fois. Manière "canonique" de raffiner un triangle etc



On définit l'op. de prolongation $p: V_{p-1} \rightarrow V_p$ simplement comme injection: une fonction de V_{p-1} est aussi dans V_p

La matrice de p est rectangulaire, en 1D, cela correspond à l'interpolation au + haut.

On note $(\varphi_j^l)_{j=1, \dots, N_p}$ les fonctions de base au niveau l .

Par hypothèse, pour $l=1, \dots, N_{p-1}$, on a
 $\varphi_j^{p-1} = \sum_{i=1}^{N_{p-1}} P_{ij}^p \varphi_i^{p-1}$
 et donc, pour $v^{p-1} \in V_{p-1}$, $v^p = \sum_{j=1}^{N_p} v_j^{p-1} \varphi_j^p$

$$= \sum_{j=1}^{N_p} v_j^{p-1} \left(\sum_{i=1}^{N_{p-1}} P_{ij}^p \varphi_i^{p-1} \right)$$

$$= \sum_{i=1}^{N_{p-1}} \left(\sum_{j=1}^{N_p} v_j^{p-1} P_{ij}^p \right) \varphi_i^{p-1}$$

soit $v^p = P v^{p-1}$ matriciellement

(18)

Thm 2 | Convergence méthode 2grilles

Si (SP) et (AP) sont vérifiées la méthode 2grilles converge.

$$\exists \nu \text{ tq } \nu > \nu \Rightarrow \underline{\|M_{P_1}^k\| \leq C_0 \nu}$$

Dem on écrit la matrice d'iteration de la méthode 2grilles sous la forme:

$$M_{P_1}^k = (I - P_2 A_{P_1}^{-1} P_2^* A) S_P^\nu = (A_P^{-1} - P_2 A_{P_1}^{-1} P_2^*) (A_P S_P^\nu)$$

$$\text{et } \|M_{P_1}^k\| \leq C_0 \|A_P\|^{-1} \times \nu \|A\| \equiv C_0 \nu$$

CQFD

Convergence du V-cycle (admis)

Hypothèse A_1 symétrique, $\nu_1 = \nu_2 = \frac{\nu}{4}$, S_P symétrique
+ (SP) et (AP)

Thm | Le V-cycle converge, avec $\|M_{\text{ell}}\| \leq \frac{C_0}{C_0 + \nu}$

Analyse d'erreur pour le FTG (Full multigrid)

App property of pour ellipticity of OLS hankle

8
19

Th pour le V-cycle Π hypotheses

V-cycle avec $\nu_1 = \nu_2$ converge $\forall \nu!$
 $\|\Pi_n\| \leq C < 1$

Convergence pour FMG

① Erreur EF $\|u - u^h\| \leq C h^2$ par exemple

2) Approximation FNC $\|u^h - \hat{I}_h^h u^h\| \leq c_1 h^k$ (10?)

3) $\|\Pi_n\| \leq S < 1$ cf avant

3) $\|\hat{I}_h^h\| \leq c_2 e^{-\mu}$

① (Th cf Saad, Th 13.2) μ assez gd pour que $c_2 5^m < 1$

Alors $\|u^h - \tilde{u}^h\| \leq C h^k$ $C = \frac{c_1 5^m}{1 - c_2 5^m}$
Exact FMG

Rem = Th + complexité \Rightarrow optimal = Discretisation erreur pour 1 cout \approx nbre inconnus

Rem Recurrence.

Finer + grossier : OK_h or \tilde{u}^h sol exacte

Th OK pour $H \Rightarrow OK$ pour h

$$u^h - \tilde{u}^h = (\Pi_h)^m (u^h - u_0^h), \quad u_0^h = \hat{I}_h^h \tilde{u}^h$$

$$\|u^h - u_0^h\| = \|u^h - \hat{I}_h^h u^h + \hat{I}_h^h (u^h - \tilde{u}^h)\|$$

$$\leq \|u^h - \hat{I}_h^h u^h\| + \|\hat{I}_h^h (u^h - \tilde{u}^h)\|$$

$$\leq c_1 h^k + c_2 e^{-\mu} C h^k = h^k (c_1 + c_2)$$

$$\leq c_1 + C c_2 = c_1 + \frac{c_1 c_2 5^m}{1 - c_2 5^m} = \frac{c_1}{1 - c_2 5^m}$$

$$\Rightarrow \|u^h - \tilde{u}^h\| \leq \frac{c_1 5^m}{1 - c_2 5^m}$$

OK

$\mu = 1$ suffr!